东北梅花鹿与东北马鹿 最佳种群结构的数学模型

李春义 郑兴涛 刘 彦 宋建华

(中国农业科学院特产研究所)

摘 要

为了使东北梅花鹿(Cervus nippon hortulorum)和东北 马鹿(Cervus canadensis)在现有数量的基础上获得最大的经济收益,本文用系统分析法对其种群结构进行了研 究。所得种群结构状态的矩阵模型为, $X_{t+1} = A \cdot X_t - C$ 。其中, AX_t 为鹿群自然变动情况;C为人 为控制量;所得线性规划模型为:

 $Y_{mex} = \sum B_m X_m + \sum B_n U_n + \sum B_p C_p$ $s \cdot t \cdot \sum X_i \leq N + \Delta N$ $\geqslant N - \Delta N$ X = AX - C

根据对典型鹿场多年调查所获数据,利用本线性规划模型,得出了这两种鹿的最佳种群结构。该结构与现行相比,每1000头的鹿场年增加净收益,梅花鹿为117675.35元,马鹿为127080.64元。若全国范围内应用本结构,其经济收益相当可观。

关键词 梅花鹿,马鹿,鹿茸,模型

我国养鹿业的目的主要在于获取珍贵的保健药材鹿茸。近年来由于人们生活水平的提高和国际市场对鹿茸需求量的增大,鹿茸出现了供不应求的势头。因此,如何尽快增加鹿茸产量是养鹿业目前急待解决的问题。我们通过系统分析,发现我国鹿场现行的鹿群结构不甚合理,所以调整其达到最佳状态是解决这一问题的有效方法之一。但迄今为止还未见有关报道。仅见有绵羊的报道[1]。为此,我们对典型鹿场的鹿群结构进行了全面调查,在此基础上,借助系统分析和线性规划手段,建立了我国的主要 茸用鹿种——东北梅花鹿与东北马鹿最佳种群结构的数学模型,以使现有数量的鹿群获得最大的经济收益。

数学模型的建立

一、种群动态模型 驯养条件下东北梅花鹿种群周转情况见框图 1。图中各符号的意义: X_m (m=1,2,3i,4,5,6i) 依次为: 仔母鹿数,育成母鹿数,成年母鹿数($3\sim13$ 岁),仔公鹿数,育成公鹿数,产茸公鹿数($3\sim15$ 岁); A_{12} , A_{23} , A_3 (i-1)i, A_{45} , A_{56} , A_6 (i-1)i分别为: 仔母鹿到育成母鹿,育成母鹿到成 年 母鹿,成年母鹿不同年龄间,仔公鹿到育成公鹿,育成公鹿到成年公鹿,成年公鹿不同年龄间的转移率; β 是繁

^{*} 本文于1989年8月10日收稿。

殖成活率, $C_p(p=1\sim3)$ 分别为:人为淘汰的初生 仔 母 鹿数 , 老 龄母鹿数 , 老龄 公鹿数 , $U_a(n=1,2,3i,4,5,6j)$ 分别表示各不同性别年龄鹿组间转移时 自 然 淘 汰的 鹿数 。

若用t表示时间,单位为年,Xi,t表示第t年第i组鹿的头数,则上述框图可用下列方程组表示[2、8];

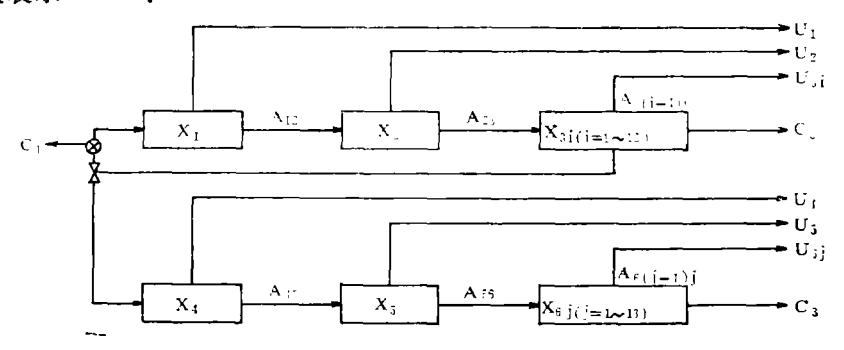


图 1 东北梅花廊种群周转框图

$$X_{1;t+1} = \frac{1}{2}\beta(1+\alpha)\sum X_{3i;t} - C_1$$

 $X_{2;t+1} = A_{12}X_{1,t}$

 $\Sigma X_{3i;t+1} = A_{23}X_{2it} + \Sigma A_3(i-1)iX_{3i;t} - C_2$

$$X_{4;t+1} = \frac{1}{2} \beta(1+\alpha) \sum X_{3i,t}$$

 $X_{5;t+1} = A_{45}X_{4,t}$

 $\sum X_{6i,t+1} = A_{56}X_{5,t} + \sum A_{8}(j-1)jX_{6i,t} - C_{3}$

(其中 α 为 双 胎 率)

引入矩阵表达式,则上述方程组可写成: $X_{t+1} = AX_t - C$, 其中: X_t 为整个 鹿群状态; A是状态转移矩阵; AX_t 为鹿群本身周转情况; C为人为控制量。

驯养条件下, 东北马鹿鹿群周转情况与东北梅花鹿的基本相同, 但在马鹿群中, 由上年仔母鹿转移过来的育成母鹿, 在下一年只有20~30%的能够转入正常 的 繁 殖母鹿群, 余者还要再持续一年才能完成, 所以马鹿的鹿群动态模型多一个中间环节:

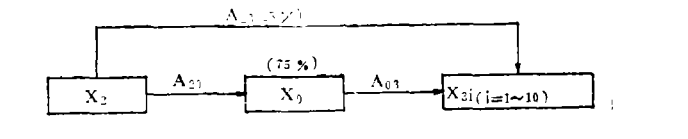


图 2 东北马鹿母鹿由育成到成年的框图

上述框图可由下列方程组表示:

 $X_{0,t+1} = 75\% A_{20}X_{2,t}$

 $\Sigma X_{3i,t+1} = 25\% A_{23} X_{2,t} + 75\% A_{03} X_{0,t}$

其中, X_0 为75%的育成母鹿转移到次年母鹿(作者 自 定 名)的数量; Λ_{20} , Λ_{03} 分别为: 育成母鹿到次成年母鹿,次成年母鹿到成年母鹿的转移率。

二、线性规划模型 由于本研究的目的是在现有数量 鹿群的基础上提高产茸量以获得最大经济收益,所以固定的 鹿群数量就构成了线性规划 的 第一个 限 制 条件[4]; 此外,一定数量的 鹿群在周转中要处于动态平衡,构成第二个限制条件。优化目标是最大的经济收益,所得线性规划的模型为:

$$\begin{split} Y_{\textit{max}} &= \Sigma B_{\textit{m}} X_{\textit{m}} + \Sigma B_{\textit{n}} U_{\textit{n}} + \Sigma B_{\textit{p}} C_{\textit{p}} \\ \text{s.t.} \Sigma X_{\textit{i}} &\leq N + \Delta N \\ &\geqslant N - \Delta N \\ X &= AX - C \end{split}$$

其中,B_m是第m组鹿只带来的收益系数; N是固定的鹿群总数; ΔN是 鹿 群 总数的变动范围; B_n是各组鹿间转移时淘汰鹿只所带来的经济收益系数; B_p是人工淘汰的初生仔母鹿、老龄母鹿和老龄公鹿所带来的收益系数。B_m的计算方法为: 1~12锯别(3~15岁)公鹿组B_m值等于各自总的产茸量乘以茸的价格,再减去各自总的饲养管理成本;仔公鹿、育成公鹿、仔母鹿、育成母鹿、次成 年 母 鹿(马鹿)、成年母鹿的各自B_m值分别等于各自所花费的饲养管理成本的负值。B_n的计算方法为: 在鹿群周转过程中自然淘汰的仔母鹿、仔公鹿以出售的乳鹿膏(马仔鹿不做)的价格作为其B_n值; 淘汰的育成母、成年母、育成公,分别以其出售的肉、皮、心、鞭、筋、血和尾的价格的总和作为各自的B_n值。B_p的计算方法为: 人为淘汰的初生仔母鹿的B_p值等于其做 成 的鹿 胎膏的价格; 人为淘汰的老龄母鹿和老龄公鹿分别以各自出售的肉、心、鞭、筋、血和尾的价格总和作为各自的B_p值。

线性规划模型的应用

一、数据来源

(一) 鹿群周转参数:梅花鹿的数据来源于吉林省12个典型国营鹿场;马鹿的数据来源于6个重点国营鹿场,见表1、2。

种 别	調査年度	調査母胞数(头)	繁殖成活率(%)	幼鹿育成率(%)	双胎率(%)
梅花鹿	1958~1984	9 185	79.0	90~95	2.0
马鹿	1961~1987	1 263	47.3	65~70	0.1

表1 應群周转参数(I)

表2 鹿群周转参数(I)

种别	調査年度	調査應数	死亡率		淘汰	率(%)		狄头率
117 223	阿重千皮	(头)	(%)	成公	成母	育盧母	仔母	(%)
梅花鹿	1981~1987	27 200	5 ~ 7	3	10	5	67~100	0•6
马鹿	1981~1987	5 200	3 ~ 4	2	8	2	50~100	_

(二) 鹿茸产量:梅花鹿和马鹿都以三叉茸干重为准,见表3。

表3 鹿茸产量

	锯 别	1	2	3	4	5	6	7	8	9	10	11	12	13
梅花鹿	样本数(产茸量(克	88 493	893 664	1063 856•7	943 1003	761 1104•7	646 1160	468 1171•7		196 1024.3	107 1000-3	60 1027•3	55 996	
马鹿	样本数(产茸量(克	 139 176•3	137 718.7	68 920	62 1129•3	54 1310	77 1476	68 1490	46 1534	39 1792	21 1649	66 1562•7	54 1619	63 1495•3

(三)饲养管理成本及鹿产品售价:都来源于1974年中国农业科学院特产研究所茸鹿试验场,见表4、5。

表4 雇饲养管理成本

单位。元

鹿别		公 庭			母魔	
Me. Ari	仔	育成	成年	仔	育成	成年
梅花鹿	56.55	247.18	295.99	56.55	180.25	209.44
马魔	82.24	326-77	460•45	82.24	234.49	348.70

表5 自然淘汰庭只的售价(Bn系数值)

单位:元

鹿 别	仔.	鹿*	育成	L 鹿	成年及	老龄鹿**
ル ガ	公	母	公	母	公	th.
梅花鹿	96.00	96.00	50.97	31.55	79.55	57.10
马鹿	0	0	79.55	57.10	146.00	91.00

^{*}梅花仔魔做乳鹿膏,故售价96.00元,马仔鹿不做,没有售价,人为淘汰的初生仔母鹿制成的鹿胎膏售价为96.00元(为Bp值)。

(四)各组鹿只对总的经济收益所做的贡献, 见表 6。每克干茸的售价为 1 元。

二、计算结果

鹿群最佳结构及其与现行结构的比较见表 7、8。计算结果表明,鹿群最佳结构与现行结构比较,公鹿在鹿群中的比例有了较大提高(梅花鹿: 70.5%→77.63%; 马鹿: 50%→66.33%)。由于鹿茸是公鹿的副性征,所以公鹿在鹿群中所占 比例升高,必然导致鹿茸产量的升高。例如,在一个1000头鹿的鹿场中,最佳结构比现行结构在鹿茸产量和经济收益上都有显著的提高,见表 8。

目前,仅吉林省就驯养东北梅花鹿8.6万头,东北马鹿0.3万头,如果将现行的鹿群结构调整至最佳结构,每年梅花鹿可多获收益10 120 080.10元;马鹿381 241.92元。如果全国范围内采用这种最佳结构,多获的经济收益将非常显著。另外,本研究若采用近两年的鹿饲养管理成本、鹿茸及鹿其他产品的售价,则多获得的收益数还要增加若干倍

^{**}老龄鹿指人为淘汰(Bp值)

						₩ 6	5.但模y	计制配法	※回条	忠友美	各組度对总矩济目标的贡献(Bm系数	ê						单位,	民
Bm Bm	В	B ₂	B ₂	B ₃	B ₄	Bs	Be1	B, 2	Виз	B8. 4	Bes	B	В, 1	Вь	В69	B610	B611	B612	B ₆₁₃
梅花鹿	-56.55	 	-180.25	-209-44	-56.55	-247.18	143	368	560.7	707	808.7	864	2.928	826	728.3	704.3	731.3	700	
马 麗	-82.24	-234.49	.49	-348.7	-82.24	-326.77		15.88.258.22	459.6	668.9	849.6	1015.6	1029.6	1073.6	1015.6 1020.6 1073.6 1331.6	1188•6	1102.2	1158•6	1034.9
							が	4 4 4 4 4 4 4 4 4 4 4 4 4 4 4 4 4 4 4	現及馬	现行组	最佳應群结构组成及与现行结构比较								(%)
展集	在	细板	产 岛	新 長	怪母	年 公		AI	. s	4	1.0	8	-	∞	65	11 11	12	13	中/公
	献	午	} 	29.46)	7	70.54							2.39 1 1
\$ 栈	略	林成	2.04	1.85	18.41	7.43 7.04	04 6.74	4 6.47	7 6.15	5 5.97	02.5	5.61	5.44	4.90	4.74	4.48 4.11	11 2.80		
製	#	合井	1	22.37								77.63]						•
		#		50.0								50.0	 						1:1
増	*	表页	2.832	2.932.752.5925.40	! -	6.35 5.97	97 5.73	3 6.33	3 5.17	7 4.96	6 4.78	4.62	4.48	4.17	4.00	3.84 3.48	48 2.70	1.21	1.07 1.1
麗	#	合计		33.67								66.33							1

(因数据不全故未用)。因为近两年鹿茸的售价比1974年增加了将近3.5倍, 鹿 其 他产品增加的倍数更高,而饲养管理费用仅增加了约0.3倍。再者通过对从现场 获 得的大量数据的分析,新生仔鹿的公母比例并不是最佳结构所采用的各占50%,而是公仔鹿约占52%,母仔鹿约占48%。如果最佳结构采用这一比例,则鹿群中公鹿的比例还会升高,产茸量还会增加,多获的经济收益会进一步增多。从社会效益看,鹿茸又是医疗保健珍品,鹿茸产量的提高必将使更多的人受益,在提高人们健康水平方面做出贡献。

魔种	項目	产 茸 量 (kg)	年饲养成本	产投比	获净收益 (元)	多获收益
梅花庭	现行最佳	406.05 508.09	236 364•15 251 628•80	1.972	229 685.85 347 361.20	117 675.35
马鹿	现行 最佳	550.00 681.32	372 681 • 24 376 920 • 60	1 • 475	304 399 • 40	127 080 • 64

表8 鹿群量佳结构与现行结构比较

本研究还需进一步建立其他产茸鹿种的鹿群最佳结构模型,完成鹿群扩大或缩小的 最优逼近的模型。

参考文献

- [1] 董全等,1984, 海北藏系绵羊种群结构及出栏方案最优化的探讨。生态学报,4(2):188~199。
- [2] 谢正祥等泽, 1987, 生物学中的Basic微计算机模型, 258~259。科学技术文献出版社。
- [3] 刘忠孤等, 1986, 关于种群结构模型的改进。2:35~42。农业系统科学与综合研究。
- [4] 中国人民大学数学教研室编, 1981, 线性规划, 3~13。中国人民大学出版社。

THE MATHEMATICAL MODELS OF THE OPTIMAL AGE-SEX DISTRIBUTIONS OF SIKA DEER (CERVUS NIPPON HORTULORUM) AND WAPITI (CERVUS CANADENSIS)

Li Chunyi, Zheng Xingtao, Liu Yan, Song Jianhua

(Institute of Special Wild Economic Animal and Plant,

Chinese Academy of Agricultural Sciences, Jilin Province)

Abstract

The optimum age-sex distributions of Sika deer and Wapiti were established by means of the system analysis method to obtain the largest economic benefits on the basis of fixed number of deer population, A matrix model was set up to discuss the state of the population age-sex distribution: $X_{t+1} = AX_t - C$. Among the formula, AX_t represents the natural tendency of the population, C, the measures of artificial

control, A model-linear programming set up was,

 $Y_{max} = \sum B_m X_m + \sum B_n U_n + \sum B_p C_p$

 $s.t.\Sigma Xi \leq N + \Delta N$

 $\geqslant N - \Delta N$

X = AX - C

Basing on the data gained from actual deer farms and using the model-linear programming, the optimum age-sex distributions of Sika deer and Wapiti calculated were as follows respectively: sika deer, 18.41% reproductive does; 2.04% infant does; 1.95% puberty does; 77.63% buck deer. Wapiti, 25.40% reproductive does; 2.93% infant does; 5.34% puberty does; 66.33% buck deer. Comparing the optimum age-sex distribution with the present, the optimum can gain 117 675.35 RMB more than the present in Sika deer, 127 080.64RMB more than the present in Wapiti, in a population of 1000.

Key words Sika deer, Wapiti, Antler, Model